

Algorithmie de l'image

Filtrage de diffusion

Christophe Tilmant - Vincent Barra (tilmant@isima.fr)

ISIMA - Université Blaise Pascal

ZZ3 F2-F4 / 2014-2015



Fondement physique de la diffusion

Analogie

filtrage \leftrightarrow diffusion d'un fluide dans un milieu

L'équation de diffusion est similaire à celle des concentrations locales d'un fluide qui s'équilibrent sous la condition de conservation de la matière.

Première loi empirique de Fick

$$\mathbf{j} = -\mathbf{D} \cdot \nabla u$$

Fondement physique de la diffusion

$$\mathbf{j} = -\mathbf{D} \cdot \nabla u$$

- \mathbf{D} : tenseur de diffusion, symétrique défini positif,
- $u : R^3 \times [0; +\infty[\rightarrow R$: concentration de matière au point (x, y, z) à l'instant t ,
- ∇u : gradient spatial de la concentration de matière,
- \mathbf{j} : flux de matière.

Fondement physique de la diffusion

Première loi empirique de Fick : $\mathbf{j} = -\mathbf{D}.\nabla u$

Equation de continuité : $\partial_t u = -\text{div} \mathbf{j}$: transport de matière sous la condition de conservation

Equation de diffusion (seconde loi empirique de Fick)

$$\partial_t u = \text{div} (\mathbf{D}.\nabla u)$$

Equation de diffusion

$$\partial_t u = \operatorname{div} (\mathbf{D} \cdot \nabla u)$$

D scalaire (diffusivité) \rightarrow diffusion homogène

En traitement d'images :

- $u \approx$ niveau de gris
- conditions initiales \rightarrow image de départ.

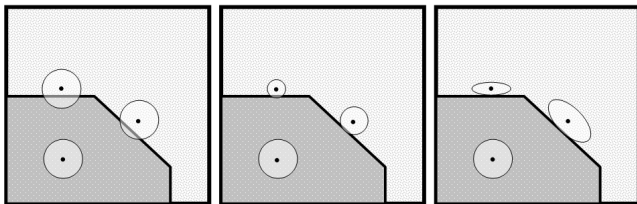
$\Rightarrow D$: degré de liberté de la méthode

Idée : choisir D comme une fonction des caractéristiques locales de l'image.

Equation de diffusion

Trois cas sont intéressants en traitement d'images :

- *filtre de diffusion isotropique linéaire* : D constante ;
- *filtre de diffusion isotropique non-linéaire* : D s'adapte aux caractéristiques locales de l'image ;
- *filtre de diffusion anisotropique non-linéaire* D tenseur de diffusion s'adaptant aux caractéristiques locales de l'image.



Filtre de diffusion linéaire

Equation de la chaleur

$$\partial_t u = \Delta u$$

$$u((i, j), t) = \left(K_{\sqrt{2t}} * u_0 \right) (i, j), \text{ pour } t > 0$$

avec $K_\sigma = \mathcal{N}(0, \sigma) \Rightarrow$ lissage Gaussien de l'image.

Reduction du bruit MAIS rend floue l'image, atténue les contours



Idée : adapter D à une "mesure" de contours
 \rightarrow filtrage de diffusion non-linéaire.

Filtre de diffusion non linéaire

Principes : Perona-Malik (1994)

→ Lisser l'image dans les zones homogènes, et de ne pas faire évoluer l'image le long des contours

$$\partial_t u = \operatorname{div} (g(|\nabla u|) \nabla u)$$

g décroissante, $g(0) = 1$, $\lim_{x \rightarrow \infty} g(x) = 0$

$|\nabla u(x)| \approx 0 \rightarrow$ équation de la chaleur en x

Exemples

- $g(x) = \frac{1}{1+(\lambda x)^2}$
- $g(x) = e^{-(\lambda x)^2}$

Filtre de diffusion non linéaire

$$g(x) = \frac{1}{1 + (\lambda x)^2}$$

λ permet de régler une diffusion plus ou moins importante par rapport à la valeur de la norme du gradient.

⇒ diffusion faible pour des valeurs de normes du gradient élevées.

⇒ contours préservés



Filtre de diffusion non linéaire

Mise en oeuvre du modèle de Perona Malik \rightarrow discrétisation en espace et temps

$$\forall (i, j, t + \Delta t) u((i, j), t + \Delta t) = u_{i,j}^{t+\Delta t} \quad \text{avec}$$

$$u_{i,j}^{t+\Delta t} = u_{i,j}^t + \Delta t \left(c_{E,i,j}^t \nabla_E u_{i,j}^t + c_{W,i,j}^t \nabla_W u_{i,j}^t + c_{N,i,j}^t \nabla_N u_{i,j}^t + c_{S,i,j}^t \nabla_S u_{i,j}^t \right)$$

- N, S, E et W : directions spatiales nord, sud, est et ouest
- ∇ : gradient spatial dans la direction indiquée par l'indice

et

$$\begin{aligned} c_{N,i,j}^t &= g(|\nabla_N u_{i,j}^t|) & c_{S,i,j}^t &= g(|\nabla_S u_{i,j}^t|) \\ c_{E,i,j}^t &= g(|\nabla_E u_{i,j}^t|) & c_{W,i,j}^t &= g(|\nabla_W u_{i,j}^t|) \end{aligned}$$